



Российская
академия наук

ISSN 1026–3500

Известия Академии наук

Серия
Химическая

3
2017
стр. 379–576

Журнал издается одновременно на русском («Известия Академии наук. Серия химическая») и английском («Russian Chemical Bulletin») языках. Подробную информацию о журнале, содержания номеров журнала в графической форме и аннотации статей, а также годовые предметные и авторские указатели можно получить в Интернете по адресу: <http://russchembull.ru>

The Journal is published in Russian and English.

The International Edition is published under the title "Russian Chemical Bulletin" by Springer:
233 Spring St., New York, NY 10013, USA. Tel.: 212 460 1572. Fax: 212 647 1898.

Detailed information concerning the journal, contents of issues with graphical and text abstracts, as well as annual subject and author indices can be found in the Internet at <http://russchembull.ru>

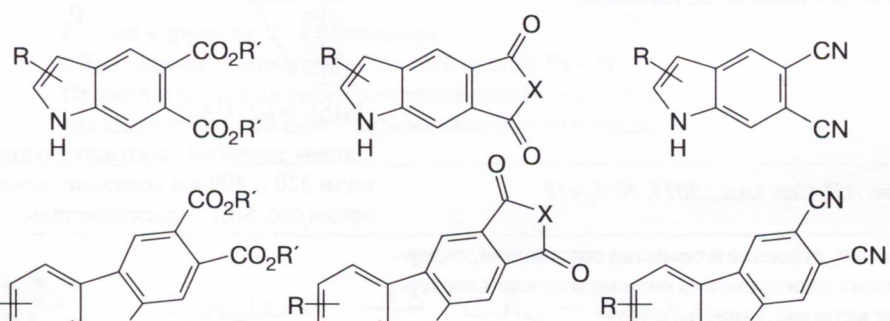
Содержание

Холькин Анатолий Иванович (к восьмидесятилетию со дня рождения)

Изв. АН. Сер. хим., 2017, № 3, ix

Обзоры

Синтез функциональных производных индол-5,6- и карбазол-2,3-дикарбоновых кислот



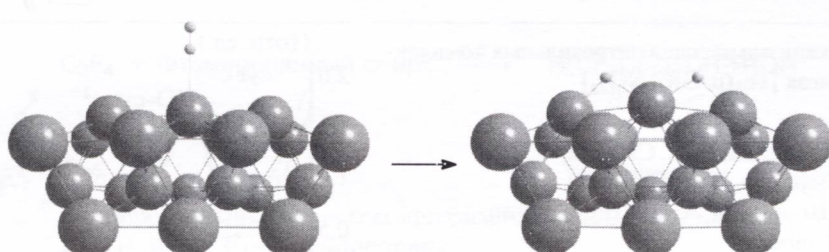
Ж. В. Чиркова, С. И. Филимонов

Изв. АН. Сер. хим., 2017, № 3, 379

X = O, NR'

Полные статьи

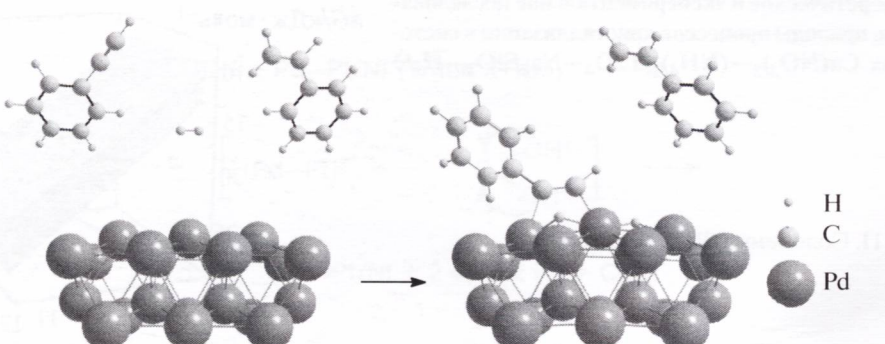
Квантово-химическое моделирование адсорбционного взаимодействия молекулы водорода с кластером Pd₂₁



Р. С. Шамсиев, Ф. О. Данилов

Изв. АН. Сер. хим., 2017, № 3, 395

Квантово-химическое моделирование адсорбции фенилацетилена и стирола на кластере Pd₂₁



Р. С. Шамсиев, Ф. О. Данилов,
Т. А. Морозова

Изв. АН. Сер. хим., 2017, № 3, 401

Синтез и свойства водорастворимых кремнеземных наночастиц

О. Б. Горбацевич, Д. Н. Холодков,
Т. С. Куркин, Ю. Н. Малахова,
Д. Р. Стрельцов, А. И. Бузин,
В. В. Казакова, А. М. Музафаров

Изв. АН. Сер. хим., 2017, № 3, 409

Первичные фотофизические и фотохимические процессы для комплекса $\text{Pt}(\text{SCN})_6^{2-}$

Е. М. Глебов, И. П. Поздняков,
В. П. Чернецов, В. П. Грибин,
А. Б. Венедиктов, А. А. Мельников,
С. В. Чекалин, В. Ф. Плюснин

Изв. АН. Сер. хим., 2017, № 3, 418

Синтез, строение и свойства соединений, содержащих одновременно октаэдрические кластерные катионы и анионы рения

А. А. Иванов, М. А. Шестопалов,
К. А. Брылев, Ю. А. Воротников,
П. Е. Плюснин, Ю. В. Миронов

Изв. АН. Сер. хим., 2017, № 3, 426

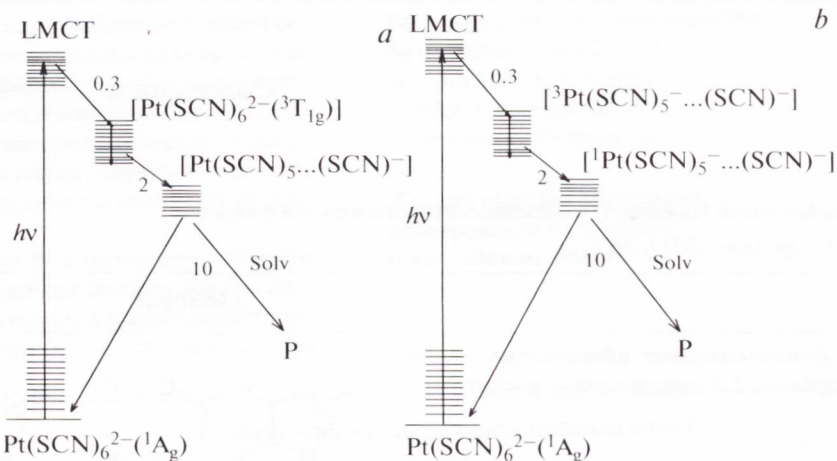
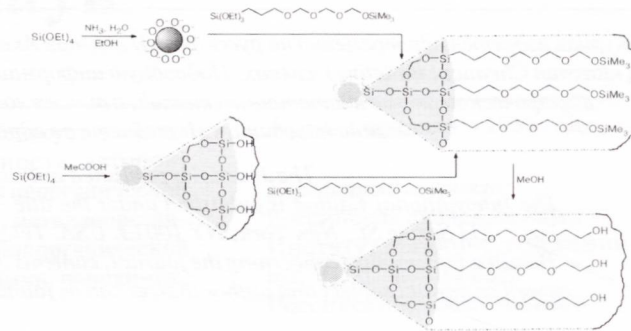
Два механизма распада нитрозильных комплексов железа $[\text{Fe}_2(\mu-\text{SR})(\text{NO})_4]$

О. В. Покидова, Н. А. Санина,
Л. А. Сырцова, Б. Л. Психа,
Н. И. Шкондина, А. И. Котельников,
С. М. Алдошин

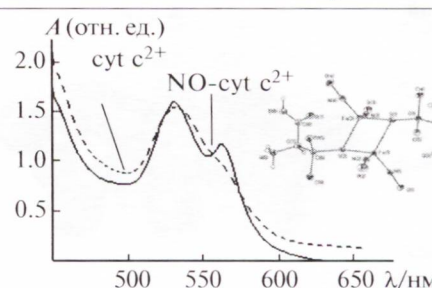
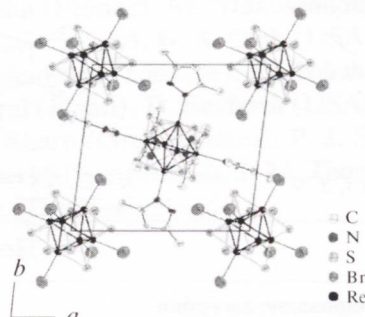
Изв. АН. Сер. хим., 2017, № 3, 432

Теоретическое и экспериментальное исследование природы процессов кристаллизации в системах $\text{Ca}(\text{NO}_3)_2-(\text{NH}_4)_2\text{HPO}_4-\text{Na}_2\text{SiO}_3-\text{H}_2\text{O}$

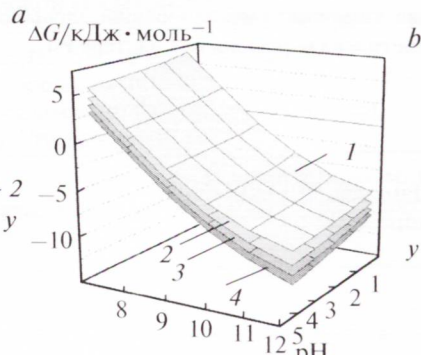
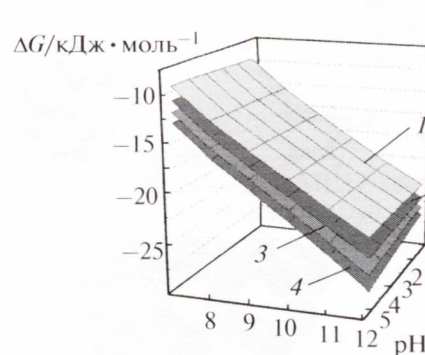
А. П. Солоненко, В. В. Боксгорн



Схемы реакций, соответствующие возбуждению $\text{Pt}(\text{SCN})_6^{2-}$ на длинах волн 320 и 400 нм согласно механизмам 1 (a) и 2 (b); цифры на прямых — время/пс, Solv — растворитель.



Изменение спектров поглощения при взаимодействии комплекса нитрозильных комплексов железа ($2 \cdot 10^{-5}$ моль·л⁻¹) с $\text{K}_3[\text{Fe}(\text{CN})_6]$ ($4 \cdot 10^{-3}$ моль·л⁻¹).

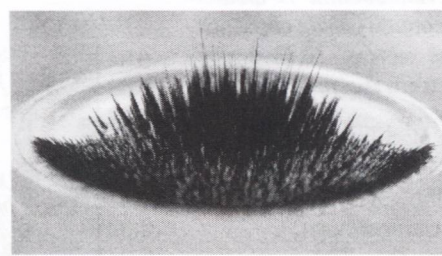


Диаграммы изменения энергии Гиббса кристаллизации $\text{Ca}_{10}(\text{PO}_4)_6(\text{OH})_2$ (a) и CaSiO_3 (b) в зависимости от pH и мольной доли силикат-ионов (y) при концентрации фосфатов 0.01 (I), 0.02 (2), 0.03 (3) и 0.04 моль·л⁻¹ (4).

Изв. АН. Сер. хим., 2017, № 3, 439

Получение композиционных микроигл из суспензии микрочастиц карбонильного железа во фторорганическом связующем

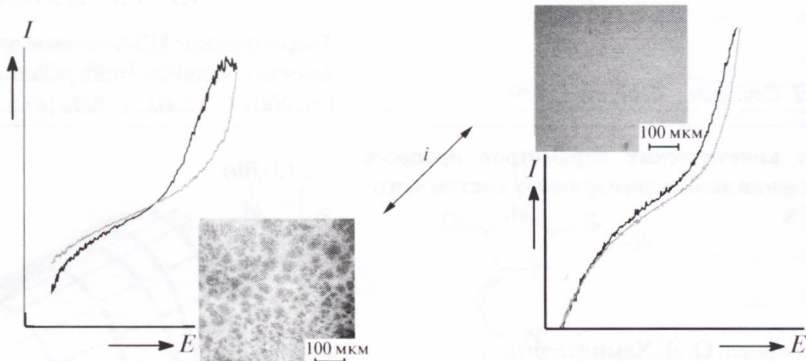
В. В. Семенов, Е. Н. Разов,
А. В. Круглов, В. Е. Котомина



Изв. АН. Сер. хим., 2017, № 3, 447

Электрохимическая коррозия тонких ферромагнитных пленок Fe—N в нейтральном растворе

С. С. Маклаков, С. А. Маклаков,
А. С. Набоко, В. И. Полозов,
В. А. Амеличев, И. А. Рыжиков



i — внутреннее напряжение в тонкой пленке Fe—N.

I — ток коррозии, *E* — потенциал.
Прямая и обратная ветви поляризационных кривых для пленок Fe—N и фотографии поверхности пленок.

Изв. АН. Сер. хим., 2017, № 3, 457

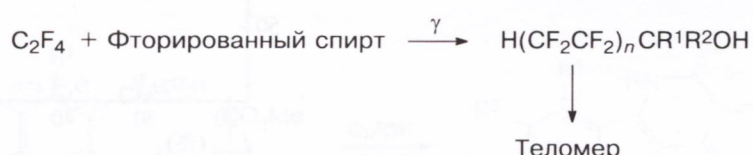
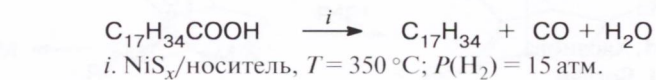
Влияние носителя на активность и селективность никель-сульфидного катализатора декарбонилирования стеариновой кислоты в гептадецены

В. Я. Данюшевский, П. С. Кузнецов,
Е. А. Кацман, А. С. Куприянов,
В. Р. Флид, А. С. Беренблюм

Изв. АН. Сер. хим., 2017, № 3, 463

Кинетика и механизм радиационной теломеризации тетрафторэтилена в гексафтормизопропаноле и трифтормэтаноле

Г. А. Кичигина, П. П. Кущ,
Д. П. Кирюхин, С. И. Кузина,
А. И. Михайлов

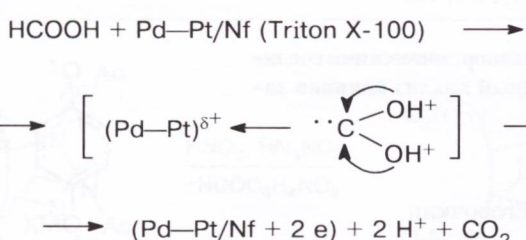


Фторированный спирт — гексафтормизопропанол, трифтормэтанол
 $\text{R}^1 = \text{H}$, $\text{R}^2 = \text{CF}_3$ — трифтормэтанол
 $\text{R}^1 = \text{R}^2 = \text{CF}_3$ — гексафтормизопропанол

Изв. АН. Сер. хим., 2017, № 3, 468

Каталитическая активность биметаллических полимерных нанокомпозитов Pt—Pd в реакции окисления муравьиной кислоты

Н. А. Яштулов, М. В. Лебедева,
Н. В. Мясникова, А. В. Рагуткин,
В. Р. Флид

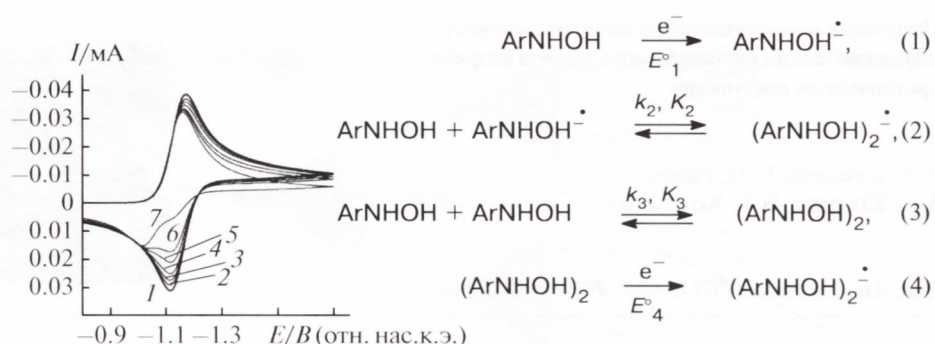


Nf — мембрана типа «Нафион»

Изв. АН. Сер. хим., 2017, № 3, 474

Механизм электровосстановления *N*-фенилгидроксиламинов в аprotонной среде: образование водородных связей между *N*-(3-нитрофенил)гидроксиламином и его анион-радикалом

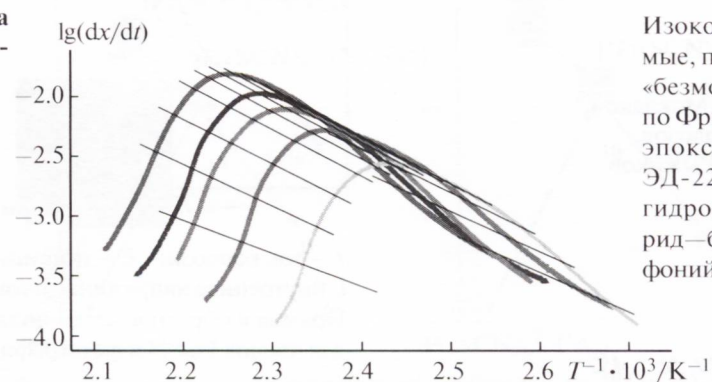
А. С. Мендкович, М. А. Сыроешкин,
В. П. Гультай, А. И. Русаков



Изв. АН. Сер. хим., 2017, № 3, 479

Оценка кинетических параметров процесса отверждения эпоксиангидридных систем методом ДСК

Л. Р. Амирова, О. Л. Хамидуллин,
Г. М. Заялова, Л. М. Амирова



Изв. АН. Сер. хим., 2017, № 3, 483

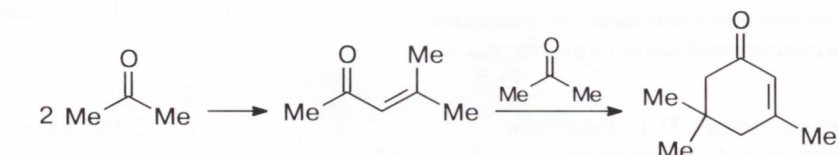
Конденсация ацетона на катализаторе CaO–SnO₂

А. Е. Коклин, Г. М. Хасянова,
Л. М. Глухов, В. И. Богдан

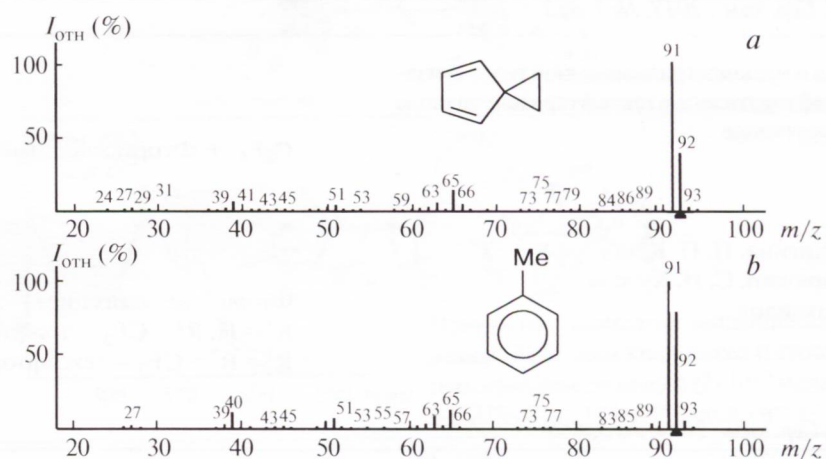
Изв. АН. Сер. хим., 2017, № 3, 488

Проблемы хромато-масс-спектрометрической идентификации спиро[2.4]гента-4,6-диена в природных объектах

Л. Г. Менчиков, О. М. Нефедов,
И. Г. Зенкевич



Условия реакции: катализатор (CaO–SnO₂), 300–450 °C, давление 15–75 атм, скорость подачи ацетона 8.1–32.3 г·ч⁻¹·(г катализатора)⁻¹.

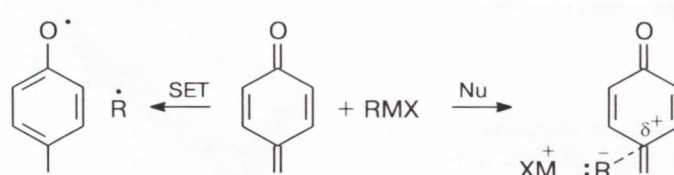


Масс-спектры спиро[2.4]гента-4,6-диена (a) и толуола (b).

Реакции хинонов с металлоорганическими соединениями: корреляционный анализ влияния заместителей

Ю. А. Курский, А. Н. Егорочкин,
Г. А. Абакумов

Изв. АН. Сер. хим., 2017, № 3, 497



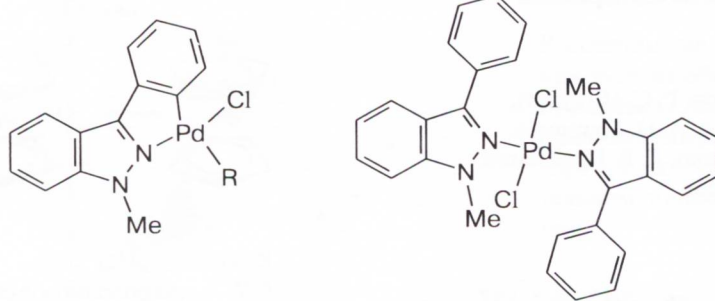
$$\lg(Nu/SET) = a_0 + \dots + a_2 \cdot \sigma_R + \dots$$

M = Li, Mg; X = Cl, Br; R = Me, Et, Pr, Bu, Prⁱ, Bu^s, Bu^t;

M = Cd; X = R = Me, Et, Pr, Bu, Prⁱ, Bu^s, Bu^t

Палладиевые комплексы 1-метил-3-фенилиндазола

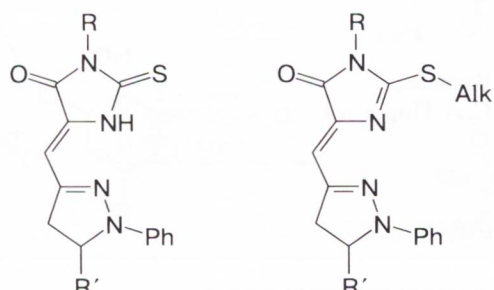
Л. А. Булыгина, Н. С. Хрущева,
Н. С. Иконников, В. И. Соколов



R = Py-d₅, Ph₃P

Синтез 5-(пиразолин-3-илметилиден)-2-тиогидантоинов и 2-алкилсульфанил-5-(пиразолин-3-илметилиден)-3,5-дигидро-4Н-имидацол-4-онов

Н. И. Ворожцов, Л. А. Свирилова,
О. С. Григорьевич, Д. Д. Кораблина,
Е. К. Белоглазкина, А. Г. Мажуга,
Н. В. Зык

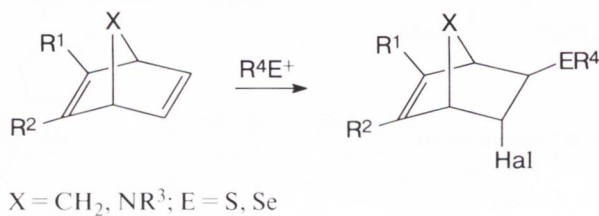


Изв. АН. Сер. хим., 2017, № 3, 502

R = Alk, Ph; R' = H, Ph

7-Азабицикло[2.2.1]гептадиены в реакциях электрофильтного халькогенирования

А. Ю. Гаврилова, М. А. Нечаев,
Д. А. Апаршов, С. Ю. Архипенко,
Р. Л. Антипин, О. Б. Бондаренко,
Н. В. Зык

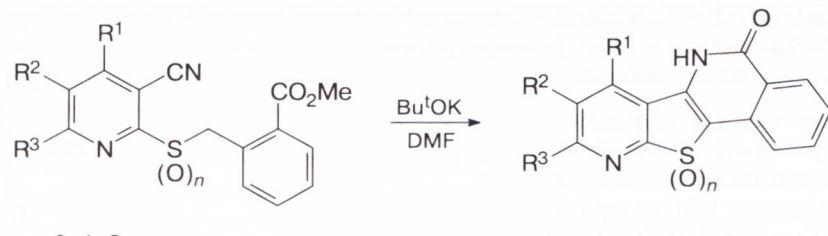


X = CH₂, NR³; E = S, Se

Изв. АН. Сер. хим., 2017, № 3, 511

Синтез замещенных пиридо[3',2':4,5]тиено-[3,2-с]изохинолин-5(6H)-онов и их сульфинильных и сульфонильных производных

В. Е. Калугин, А. М. Шестопалов

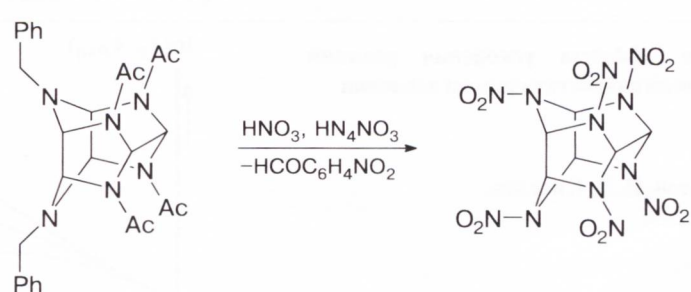


n = 0, 1, 2

Изв. АН. Сер. хим., 2017, № 3, 523

Нитролиз 4,10-дibenзил-2,6,8,12-тетраацетил-2,4,6,8,10,12-гексаазатетрацикло-[5,5,0,03,11,05,9]-додекана

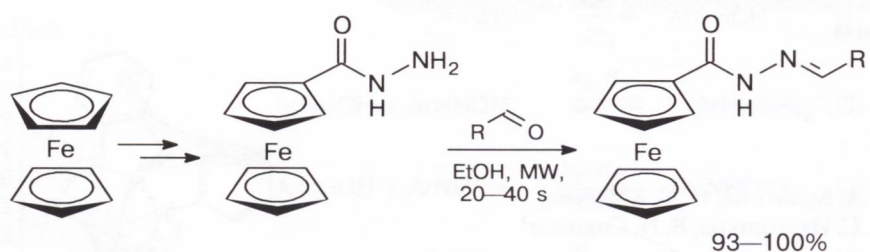
А. И. Калашников, С. В. Сысолятин,
Г. В. Сакович, А. С. Дубков,
Д. А. Кулагина



Изв. АН. Сер. хим., 2017, № 3, 531

Ферроценкарбоновая кислота и микроволновый синтез ферроценоилгидразонов

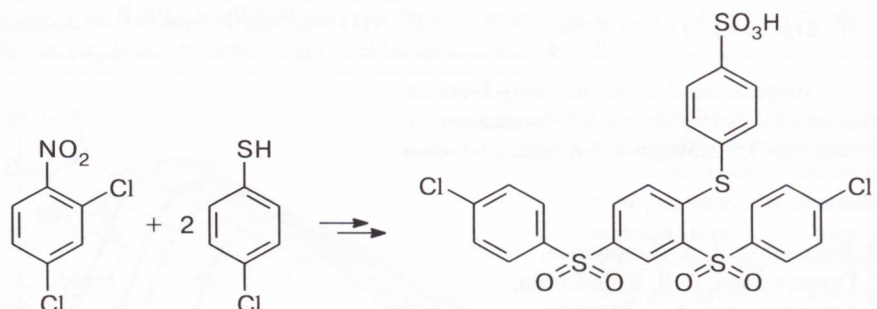
В. Н. Куликов, Р. С. Никулин,
Д. Е. Архипов, А. Н. Родионов,
Е. С. Бабусенко, Л. В. Коваленко,
Ю. А. Белоусов



Изв. АН. Сер. хим., 2017, № 3, 537

Синтез нового мономера для сульфированных полиариленэфирсульфонов

Р. С. Бегунов, А. Н. Валеева,
А. Н. Фахрутдинов, С. А. Пирогова

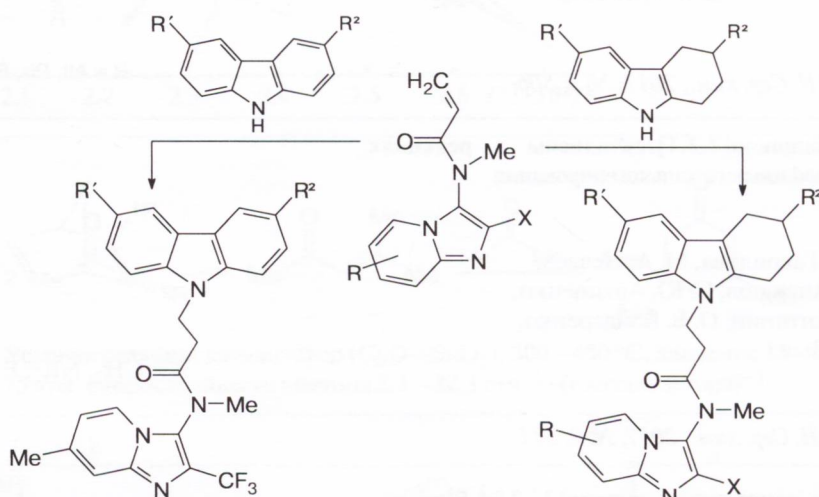


Изв. АН. Сер. хим., 2017, № 3, 545

Модификация биологически активных амидов и аминов фторсодержащими гетероциклами. Сообщение 13.* Карбазолы и тетрагидрокарбазолы, модифицированные 2-замещенными имидазо[1,2-*a*]пиридин-3-илпропионамидными фрагментами

В. Б. Соколов, А. Ю. Аксиненко,
Т. А. Епишина, Т. В. Горева,
В. В. Григорьев, А. В. Габрельян

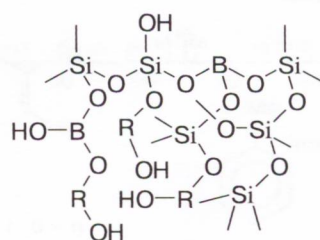
Изв. АН ССР, хим., 2017, № 3, 552



Кремнийборсодержащий глицерогидрогель, обладающий ранозаживляющей, регенерирующей и антимикробной активностью

О. Н. Чупахин, Т. Г. Хонина,
Н. В. Кунгурев, Н. В. Зильберберг,
Н. П. Евстигнеева, М. М. Кохан,
А. И. Полищук, Е. В. Шадрина,
Е. Ю. Ларченко, Л. П. Ларионов,
М. С. Карабаналов

Изв. АН. Сер. хим., 2017, № 3, 558

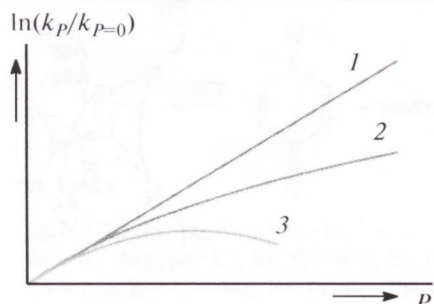


$$R = \text{CH}_2\text{CH(OH)CH}_2$$

Краткие сообщения

Определение эффекта ускорения реакций при повышенном гидростатическом давлении

Д. А. Корнилов, В. Д. Киселев,
А. И. Коновалов

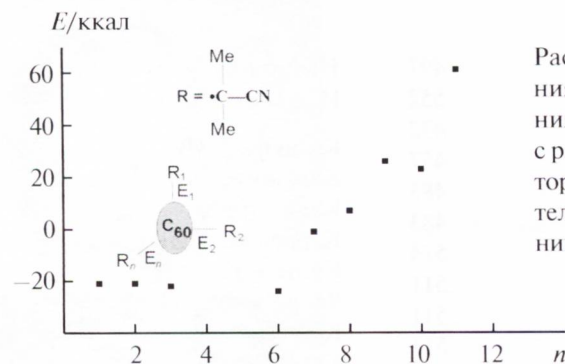


Рассчитанные зависимости (1-3) $\ln(k_p/k_{p=0})$ от давления (P) с использованием различных приближений.

Изв. АН ССР, хим., 2017, № 3, 564

О зависимостях реакционной способности фуллера от степени его «замещенности»

Е. Г. Атовмян



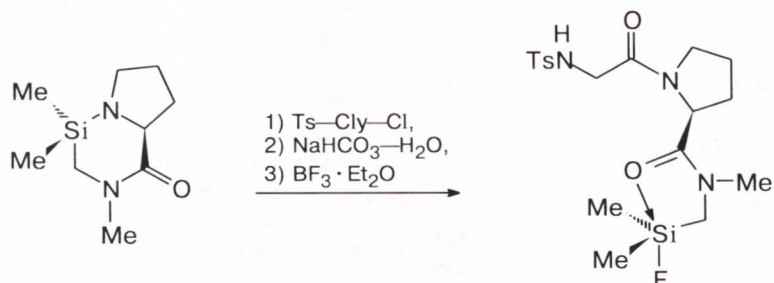
Рассчитанные значения энергии образования связи ($E/\text{ккал}$) C_60 с радикалами инициатора при их последовательном присоединении.

Изв. АН. Сер. хим., 2017, № 3, 567

Синтез и строение первого представителя пента-координированных C,O-хелатов с дипептидным фрагментом —фторсилана Ts—Gly—(S)-Pro—N(Me)CH₂SiMe₂F

А. А. Николин, Е. П. Крамарова,
А. А. Корлюков, Д. Е. Архипов,
А. Г. Шипов, Ю. И. Бауков,
А. А. Лагунин, Т. А. Шмиголь,
Вад. В. Негребецкий

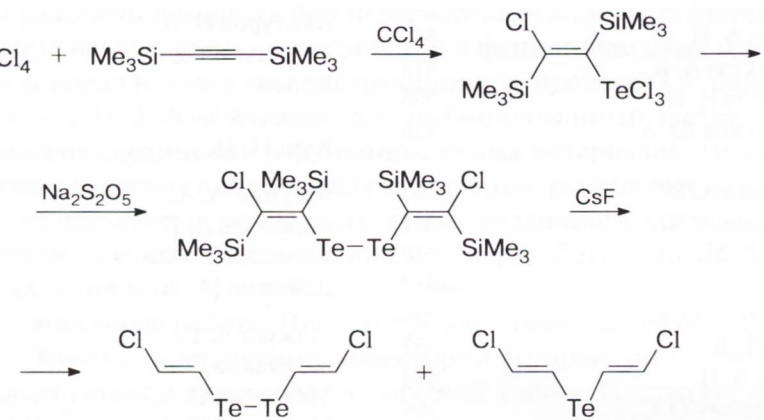
Изв. АН. Сер. хим., 2017, № 3, 571



Письма редактору

Стереоселективный синтез (E)-винилтелланов на основе реакции тетрахлорида теллура с бис-(триметилсилил)ацетиленом

М. В. Мусалова, М. В. Мусалов,
Б. А. Потапов, С. В. Амосова



Изв. АН. Сер. хим., 2017, № 3, 574